



Kancelář stavebního inženýrství s.r.o.

Sídlo spol.: Botanická 256, 360 02 Dalovice, IČ: 25 22 45 81, DIČ: CZ25224581

Název akce:

Podrobný stavebně – technický průzkum

Objekt:

Střední uměleckoprůmyslová škola Karlovy Vary, p. o., Náměstí 17. listopadu 12, 360 05 Karlovy Vary

Objednавatel:

Krajský úřad Karlovarského kraje, odbor investic a správa majetku, Závodní 353/88, 360 06 Karlovy Vary

Datum vydání: 07.07.2017



Ing. Petr Hampl



Ing. Stanislav Vonka

I. Úvod

Podle Smlouvy o dílo KK 01583/2017 mezi Krajským úřadem Karlovarského Kraje, odboru investic a správy majetku, Závodní 353/88, 360 06 Karlovy Vary a Kanceláří stavebního inženýrství s. r. o., Botanická 256, 360 02 Dalovice, byl proveden podrobný stavebně – technický průzkum objektu Střední uměleckoprůmyslové školy Karlovy Vary, p. o., Náměstí 17. listopadu 12, 360 05 Karlovy Vary, včetně přilehlého bytového domu.

Stručná rekapitulace prohlídek a průzkumu objektu

Dne 24.03.2017 byla provedena vizuální prohlídka konstrukcí po oznámení náhlého výskytu podélných trhlin v trámech v místnosti sádrovny objektu školy. Na základě vizuální prohlídky byl stav stropní konstrukce charakterizován jako havarijní.

Dne 27.03.2017 byl proveden chemický rozbor 2 vzorků betonu z nosných trámů. Ve vzorcích bylo nalezeno zvýšené množství Al_2O_3 v cementovém tmelu (7,54% a 7,56%). Stav nosných konstrukcí v celém objektu školy byl charakterizován jako havarijní.

Dne 27.04.2017 byl proveden úvodní stavebně – technický průzkum z témito závěry: Při vizuální prohlídce stropních konstrukcí byly nalezeny závažné poruchy ve formě podélných trhlin ve stropních trámech v 1. NP objektu školy a v suterénu bytového domu. Nedestruktivní zkouškou pevnosti betonu bylo zjištěno, že krychelná pevnost betonu ve stropních trámech a pilíři se pohybuje od 11 do 14 MPa a v průměru je 12,2 MPa. Chemickou analýzou odebraných vzorků betonu stropních trámů byl prokázán zvýšený obsah Al_2O_3 , který kolísá od 6,18% do 7,56%, v pilíři byl obsah Al_2O_3 4,95%.

Stavební stav železobetonových stropních konstrukcí a pilířů v objektu školy a bytového domu je havarijní. V objektech nesmí být vykonávána žádná činnost a vstup do objektu musí být zakázán. Všechny stropní konstrukce musí být podepřeny ocelovými stojkami a dřevěnými nosníky.

Od 26.06.2017 do 07.07.2017 byl proveden podrobný stavebně – technický průzkum. Podrobný stavebně – technický průzkum byl zaměřen na ověření možného použití hlinitanových cementů ve vybraných stropních konstrukcích a na stanovení krychelné pevnosti betonu nedestruktivní a destruktivní metodou na provedených vývrtech. Podrobný stavebně – technický průzkum navazuje na úvodní stavebně – technický průzkum a zjištěná data z úvodního stavebně – technického průzkumu byla použita pro celkové statistické vyhodnocení pevnosti betonu.

II. Rozsah podrobného stavebně – technického průzkumu

- Provedení 3 jádrových vývrtů do betonových konstrukcí
- Destruktivní zjištění pevnosti betonů na vývrtech, vypracování kalibračních vztahů pro nedestruktivní měření
- Nedestruktivní zjištění pevnosti betonu stropních konstrukcí
- Odběr vzorků pro chemickou analýzu z věnce a stropních konstrukcí
- Chemická analýza odebraných vzorků betonu
- Vyhodnocení výsledků pomocí statistických metod
- Závěr, vyhodnocení celkového stavebního stavu objektu

III. Popis konstrukcí

Komplex střední uměleckoprůmyslové školy je tvořen hlavní budovou půdorysného tvaru „T“ a přilehlým bytovým domem.

Hlavní budova školy

Budova školy je objekt o 3 nadzemních podlažích a suterénu. Svislé nosné konstrukce jsou tvořeny cihelným zdivem, pouze v místě západovýchodní chodby u sálů bylo použito celkem 6 betonových pilířů. Pilíře byly zvoleny z důvodů instalace vitrín ve stěně po celé délce chodby. Vodorovné nosné konstrukce jsou tvořeny železobetonovým obousměrným trámovým stropem. V části objektu, v jižním traktu u komunikace Sokolovská, jsou stropní konstrukce trámové dřevěné.

Bytový dům

Bytový dům je objekt o 3 nadzemních podlažích a suterénu. Svislé nosné konstrukce jsou tvořeny cihelným zdírem. Vodorovné nosné konstrukce jsou v suterénu objektu tvořené železobetonovým obousměrným trámovým stropem. V nadzemních částech objektu byl železobetonový trámový strop použit v severní části objektu (chodba, kuchyň a přilehlé prostory u severního traktu v 1. NP, chodba a kuchyň v 2. NP), ostatní vodorovné konstrukce jsou dřevěné trámové. Stropní konstrukce 3. NP jsou dřevěné trámové.

IV. Podrobný stavebně – technický průzkum

IV.1 Diagnostické metody průzkumu

IV.1.1 Nedestruktivní zjištění pevnosti betonu

Bylo provedeno nedestruktivně Schmidtovým tvrdoměrem N v. č. 31 521 podle ČSN 73 1373. Pro vyhodnocení byl použit obecný kalibrační vztah. Jedná se tedy o zkoušku s nezaručenou přesností. Podstatou zkoušky je stanovení krychelné pevnosti betonu na základě měření tvrdosti povrchu betonu. Na základě statistických metod podle ČSN 73 2011 byla stanovena zaručená pevnost betonu v tlaku.

IV.1.2 Chemická analýza odebraných vzorků betonu

Chemická analýza odebraných vzorků betonu byla provedena rentgenovou fluorescenční spektrometrií bezstandardní analýzou na přístroji S4 PIONEER. Tímto postupem byly určeny a kvantifikovány všechny důležité chemické prvky a sloučeniny ve vzorcích betonu. Chemická analýza byla provedena v laboratoři firmy KSB spol. s r. o., 362 26 Božičany.

IV.1.3 Destruktivní zjištění pevnosti betonu na jádrových vývrtech

Jádrové vývrty byly provedeny ruční vyvrtávací soupravou CEDIMA. Pro jádrový vývrt byl použit vrták o vnitřním průměru 100 mm. Pevnost v tlaku na válcích byla stanovena podle ČSN EN 12390-3. Upřesňující vztah pro nedestruktivní stanovení pevnosti byl stanoven podle ČSN EN 12390-3 /Z1.

IV.2 Vizuální prohlídka

Vizuální prohlídka byla na základě závěrů z předběžného stavebně – technického průzkumu zaměřena na výskyt poruch v nosných konstrukcích. Při vizuální prohlídce byly nalezeny poruchy ve formě vlasových trhlin a částečně rozvolněných trhlin v nosných konstrukcích stropu, tzn. ve stropní desce a trámech.

Výskyt a popis poruch je uveden v následující tabulce:

Objekt keramické školy

Označení poruchy	Umístění poruchy	Typ poruchy	Poznámka	Číslo fotografie
P1	1. PP, místnost u západovýchodní chodby	Průhyb nosných trámů o cca 20 mm	V trámech nebyly nalezeny žádné trhliny	1
P2	1. NP, severní místnost ve východním traktu (sádrovna)	Rozvolněná podélná trhлина na spodní straně podélného trámu S-J u střední zdi	Šířka trhliny cca 20 mm, beton v trhlině je rozpadlý a samovolně vypadává, trhлина dosahuje až k výztuži, výztuž je bez viditelné koroze	2

P3	1. NP, severní místnost ve východním traktu (sádrovna)	Rozvolněná podélná trhlina na spodní straně příčného trámu v severní části	Šířka trhliny cca 20 mm, beton v trhlině je rozpadlý a samovolně vypadává, trhlina dosahuje až k výzvuži, výzvuž je bez viditelné koroze	3
P4	1. NP, severní místnost ve východním traktu (sádrovna)	Vlasové trhliny ve střední příčné zdi místnosti	Trhliny vycházejí od stropní konstrukce ve svislému směru v délce cca 1 000 mm	4
P5	1. NP severní místnost ve východním traktu (přípravná)	Průhyby všech příčných trámů o 40 – 60 mm	V trámech nebyly nalezeny žádné trhliny	5
P6	1. NP - Místnost u V-Z chodby, severní trakt (točírna)	Průhyby všech příčných trámů o cca 40 mm	V trámech nebyly nalezeny žádné trhliny	6
P7	2. NP Místnost u V-Z chodby, severní trakt (nad točírnou)	Vlasová trhlina v příčce	Trhlina prochází celou stěnou pod úhlem cca 45°	7

Objekt bytového domu

Označení poruchy	Umístění poruchy	Typ poruchy	Poznámka	Číslo fotografie
P8	1. PP, západní místnost v jižním traktu	Vlasové trhliny ve stropní desce u okenního otvoru	Systém rovnoběžných trhlin pod úhlem cca 45° ve směru JV - SZ	8

P9	1. PP, východní místnost v jižním traktu	Vlasové trhliny ve stropní desce u okenního otvoru	Systém rovnoběžných trhlin pod úhlem cca 45° ve směru JZ - SV	9
P10	1. PP, východní místnost v severním traktu	Vlasové trhliny ve stropní desce u okenních otvorů obvodové zdi a dveřního otvoru střední zdi	Systém rovnoběžných trhlin ve směru SJ	10
P11	1. PP, severní místnost v severním traktu u chodby	Vlasové trhliny ve stropní desce u okenních otvorů obvodové zdi	Systém rovnoběžných trhlin ve směru SJ	11

Schematické umístění poruch je uvedeno v Příloze 1 „Schema umístění poruch konstrukcí“

IV.3 Provedení jádrových vývrtů do betonových konstrukcí

Jádrové vývrtы byly provedeny do věnce a stropních desek.

Umístění vývrtů:

Vývrt č. 1 – objekt keramické školy, železobetonový věnec v 2. NP, v severní místnosti severního traktu budovy v obvodové zdi

Vývrt č. 2 – objekt keramické školy, železobetonová stropní deska nad 1. NP, v Z-V chodbě

Vývrt č. 3 – objekt bytového domu, železobetonová stropní deska nad 1. PP, severní místnost naproti schodišti

Schematické umístění vývrtů a odběrů pro chemickou analýzu je uvedeno v Příloze 2 „Schema umístění vzorků pro chemickou analýzu“

Popis vývrtů:

Beton ve vývrtech byl jemnozrnný světle šedé barvy. Ve vývrtech nebyly nalezeny žádné kaverny ani trhliny. Při poklepu zkušebním kladívkem se beton rozpadal. Jádro betonu po nedestruktivní zkoušce bylo drolivé a úlomky betonu bylo možné zlomit mezi prsty.

Potřebné naměřené veličiny na vývrtu, nutné k určení krychelné pevnosti betonu ve vývrtu a vypočítaná krychelná pevnost betonu, jsou uvedeny v následující tabulce.

Vývrt č.	průměr vývrtu mm	délka vývrtu mm	poměr délky k průměru	opravný souč.	průřezová plocha mm ²	max. zatížení N	válcová pevnost MPa	krychelná pevnost MPa
1	103	122	1,184	0,90	8328	65000	7,0	8,8
2	103	100	0,97	0,85	8328	75000	7,7	9,6
3	103	100	0,97	0,85	8328	65000	6,6	8,3

Stanovení kalibračního vztahu

Výpočet součinitele „a“ byl proveden podle metodiky, uvedené v ČSN 73 1373. Součinitel „a“ byl vypočten a použit s vědomím nízkého počtu odebraných vzorků z betonové konstrukce a slouží pouze pro přibližný odhad krychelné pevnosti betonu.

Na každém vývrtu byly provedeny na 2 protilehlých stranách nedestruktivní zkoušky pevnosti Schmidtovým tvrdoměrem. Potřebné údaje, naměřené a vypočítané hodnoty jsou uvedeny v následující tabulce.

$$a_t = 0,90 \text{ (pro stáří betonu nad 360 dnů)}$$

$$a_w = 0,85 \text{ (beton suchý)}$$

Vývrt č.	Velikost platných odrazů							Průměr	Pevnost v tlaku MPa
1	22	24	30	28	28	28	30	27	19
2	29	28	21	22	28	30	25	26	18
3	22	28	26	24	26	24	28	25	16

Výpočet kalibračního koeficientu k

A ... součet výsledků pevností, získaných destruktivní metodou

$$A = 8,8 + 9,6 + 8,3 = 26,7 \text{ MPa}$$

B ... součet výsledků pevnosti, získaných nedestruktivně

$$B = 19 + 18 + 16 = 53$$

$$k = A/B = 26,7/53 = 0,50$$

Na základě zjištěného upřesněného kalibračního vztahu byly přeypočítány zjištěné hodnoty pevnosti v tlaku nedestruktivní metodou s upřesňujícím součinitelem 0,50.

IV.4 Nedestruktivní zjištění pevnosti betonu stropních konstrukcí

Nedestruktivní zkoušky pro zjištění pevnosti betonu ve stropních konstrukcích byly provedeny v trámech, věncích a stropních deskách v objektu keramické školy a v objektu bytového domu.

IV.4.1 Objekt keramické školy

Celkem bylo provedeno 18 sond s označením 1 – 18.

Sonda č. 1 byla provedena v 1. PP, stropní deska, S-J chodba

Sonda č. 2 byla provedena v 1. PP, trám, Z-V chodba

Sonda č. 3 byla provedena v 1. PP, stropní deska, Z-V chodba

Sonda č. 4 byla provedena v 1. NP, trám, severní místnost, východní trakt

Sonda č. 5 byla provedena v 1. NP, trám, severní místnost, východní trakt

Sonda č. 6 byla provedena v 1. NP, trám, východní místnost, východní trakt

Sonda č. 7 byla provedena v 1. NP, trám, severní místnost, západní trakt

Sonda č. 8 byla provedena v 1. NP, trám, chodba, V-Z

- Sonda č. 9 byla provedena v 1. NP, trám, chodba, V-Z
 Sonda č. 10 byla provedena v 2. NP, trám, u schodiště
 Sonda č. 11 byla provedena v 2. NP, trám, východní místnost, východní trakt
 Sonda č. 12 byla provedena v 2. NP, trám, západní místnost, západní trakt
 Sonda č. 13 byla provedena v 2. NP, trám, Chodba V-Z
 Sonda č. 14 byla provedena v 2. NP, trám, Chodba V-Z
 Sonda č. 15 byla provedena v 2. NP, věnec v obvodové zdi, chodba V-Z
 Sonda č. 16 byla provedena v 2. NP, věnec v obvodové zdi, západní trakt
 Sonda č. 17 byla provedena v 1. NP, věnec v obvodové zdi, chodba V-Z
 Sonda č. 18 byla provedena v 1. NP, věnec v obvodové zdi, západní trakt

Umístění sond je uvedeno v Příloze 3 „Schema umístění zkoušek pro nedestruktivní měření pevnosti betonu – keramická škola“

Směr zkoušení: vodorovný – věnce
 svisle nahoru – trámy
 Stáří betonu $\alpha_t = 0,9$ nad 360 dnů
 Stav betonu $\alpha_w = 0,85$ suchý

Sonda číslo	Velikost platných odrazů	Průměr	R MPa	Součinitel α	R _b MPa
1	32 38 35 39 35 30 32	34	23	0,50	11,5
2	30 32 30 38 32 32 39	33	21	0,50	10,5
3	32 35 35 38 32 38 30	34	23	0,50	11,5
4	30 30 25 24 25 30 30	28	14	0,50	7,0
5	29 25 24 30 24 28 30	27	14	0,50	7,0
6	28 30 22 28 20 28 22	25	13	0,50	6,5
7	32 30 24 28 28 22 30	28	14	0,50	7,0
8	26 30 30 32 30 29 28	29	15	0,50	7,5
9	32 29 38 32 30 29 30	31	18	0,50	9,0
10	30 29 25 31 32 29 30	29	15	0,50	7,5
11	30 32 36 38 36 30 31	33	21	0,50	10,5
12	31 25 30 29 31 28 30	29	15	0,50	7,5
13	30 32 28 29 31 28 32	30	17	0,50	8,5
14	28 30 29 31 31 28 31	30	17	0,50	8,5
15	28 20 21 26 22 26 28	24	16	0,50	8,0
16	29 24 31 29 31 25 30	28	21	0,50	10,5
17	35 35 22 30 31 30 28	30	24	0,50	12,0
18	28 24 24 24 30 31 29	27	19	0,50	13,5

IV.4.2 Objekt bytového domu

Celkem bylo provedeno 10 sond s označením 1 – 10.

Sonda č. 1 byla provedena v 1. NP, trám, severní místnost, severní trakt

Sonda č. 2 byla provedena v 1. NP, trám, severní místnost, severní trakt

Sonda č. 3 byla provedena v 1. NP, trám, západní místnost, severní trakt

Sonda č. 4 byla provedena v 1. NP, trám, západní místnost, severní trakt

Sonda č. 5 byla provedena v 1. PP, trám, jižní místnost, jižní trakt u schodiště

Sonda č. 6 byla provedena v 1. PP, trám, východní místnost, jižní trakt

Sonda č. 7 byla provedena v 1. PP, trám, východní místnost, severní trakt

Sonda č. 8 byla provedena v 1. PP, trám, jižní místnost, jižní trakt u schodiště

Sonda č. 9 byla provedena v 1. PP, trám, západní místnost, jižní trakt

Sonda č. 10 byla provedena v 1. PP, trám, západní místnost, severní trakt

Umístění sond je uvedeno v Příloze 4 „Schema umístění zkoušek pro nedestruktivní měření pevnosti betonu – bytový dům“

Směr zkoušení: svisle nahoru

Stáří betonu $\alpha_t = 0,9$ nad 360 dnů

Stav betonu $\alpha_w = 0,85$ suchý

Sonda číslo	Velikost platných odrazů	Průměr	R MPa	Součinitel α	R _b MPa
1	30 32 31 28 26 30 28	29	15	0,50	7,5
2	30 28 26 28 28 26 28	28	14	0,50	7,0
3	26 24 30 30 26 24 24	26	13	0,50	6,5
4	24 24 26 28 30 28 26	27	14	0,50	7,0
5	30 32 32 31 28 28 30	30	17	0,50	8,5
6	31 28 31 28 26 30 26	29	15	0,50	7,5
7	30 32 32 28 30 30 28	30	17	0,50	8,5
8	30 30 26 26 24 26 26	27	14	0,50	7,0
9	30 31 30 26 26 28 26	28	14	0,50	7,0
10	28 26 28 30 28 28 30	28	14	0,50	7,0

IV.5 Chemická analýza vzorků betonu

Odběr vzorků

Vzorky betonu byly odebrány z jádrových vývrtů po provedení destruktivní zkoušky.

Umístění jádrových vývrtů

Vývrt č. 1 – objekt keramické školy, železobetonový věnec v 2. NP, v severní místnosti severního traktu budovy v obvodové zdi

Vývrt č. 2 – objekt keramické školy, železobetonová stropní deska nad 1. NP, v Z-V chodbě

Vývrt č. 3 – objekt bytového domu, železobetonová stropní deska nad 1. PP, severní místnost naproti schodišti

Chemická analýza

Vývrt č. 1

Prvek	Hmotnostní koncentrace v %
Na ₂ O	0,644
MgO	0,332
Al ₂ O ₃	6,88
SiO ₂	70,2
P ₂ O ₅	0,093
SO ₃	0,244
Cl	0
K ₂ O	1,99
CaO	8,19
Fe ₂ O ₃	1,83
Br	1,61

Vývrt č. 2

Prvek	Hmotnostní koncentrace v %
Na ₂ O	0,914
MgO	0,347
Al ₂ O ₃	7,62
SiO ₂	69,7
P ₂ O ₅	0,089
SO ₃	0,635
Cl	0
K ₂ O	2,06
CaO	7,35
Fe ₂ O ₃	2,04
Br	1,66

Vývrt č. 3

Prvek	Hmotnostní koncentrace v %
Na ₂ O	0,669
MgO	0,274
Al ₂ O ₃	6,38
SiO ₂	69,8
P ₂ O ₅	0,134
SO ₃	0,237
Cl	0
K ₂ O	1,85
CaO	7,20
Fe ₂ O ₃	3,91
Br	1,47

Hmotnostní koncentrace ostatních prvků a sloučenin měly neměřitelné hodnoty.

V. Vyhodnocení výsledků pomocí statistických metod

V.1 Stanovení zaručené pevnosti betonu

Pro stanovení zaručené pevnosti betonu byla použita statistická metoda podle ČSN 73 2011. Statistika byla provedena na výsledcích pevnosti betonu bez použití upřesňujícího součinitele. Pro statistiku bylo použito výše uvedených 18 měření pevnosti v objektu keramické školy a 10 měření v objektu bytového domu. Ke statistice bylo přidruženo 5 výsledků pevnosti betonu, uvedených v úvodním stavebně – technickém průzkumu. Ze statistiky nebyl vyloučen žádný výsledek.

Průměrná hodnota souboru: 16 MPa

Výběrová směrodatná odchylka: $s_r = 4,279 \text{ MPa}$

Součinitel odhadu 5-ti% kvantilu: $\beta_n = 1,71$

Zaručená pevnost betonu: $R_{bg} = 8,7 \text{ MPa}$

V.2 Vyhodnocení chemické analýzy

Pro vyhodnocení chemické analýzy byly použity rozbory vzorků č. 1 – 3 viz výše, vzorků PP 1 – 2, které byly zjištěny v předběžném průzkumu a vzorků UP1 – UP5, které byly zjištěny v úvodním průzkumu. Z celkového vyhodnocení byl vyňat vzorek č. UP1, jehož hmotnostní koncentrace Al_2O_3 je výrazně nižší než u ostatních vzorků a byl odebrán z pilíře u vsazených vitrín ve střední stěně.

Vzorek č.	1	2	3	UP1	UP2	UP3	UP4	UP5	PP1	PP2
Al_2O_3 %	6,88	7,62	6,38	4,95	7,40	7,09	6,18	6,20	7,54	7,56
CaO %	8,19	7,35	7,20	10,4	6,6	8,55	7,46	7,12	5,55	6,53
SiO_2 %	70,2	69,7	69,8	73,6	71,9	67,8	73,3	73,2	72,7	70,7

Rozsah hodnot hmotnostní koncentrace Al_2O_3 :

6,18% až 7,62%, průměrná hodnota 6,98%

Rozsah hodnot hmotnostní koncentrace CaO:

5,55% až 8,55%, průměrná hodnota 7,17%

Rozsah hodnot hmotnostní koncentrace SiO₂:

67,8% až 73,3%, průměrná hodnota 71,03%

VI. Vyhodnocení celkového stavebního stavu objektu

Z podrobného stavebně – technického průzkumu vyplývá, že krychelná pevnost betonu trámů, stropních desek a průvlaků v objektu keramické školy i bytového domu je obdobná a pro výstavbu obou objektů byl v rámci shodné technologie výstavby použit i stejný beton. Pro konstrukci tohoto typu je zjištěná krychelná pevnost betonu velmi nízká. Na základě statistických metod z 33 výsledků o průměrné hodnotě krychelné pevnosti betonu 16,0 MPa byla stanovena zaručená pevnost 8,7 MPa. Tato hodnota odpovídá i hodnotě, zjištěné pomocí upřesněného koeficientu a to v průměru 7,4 MPa. Průměrná krychelná pevnost, zjištěná na 3 jádrových vývrtech destruktivní metodou, je 8,9 MPa. Hmotnostní koncentrace Al₂O₃ dosahuje průměrné hodnoty 6,98% a odpovídá tak hodnotě použitého cementu s vyšším obsahem hlinitanů, tedy takzvaně hlinitanového ladění. V betonu byl zjištěn velmi nízký obsah CaO, v průměru 7,17% a mírně zvýšený obsah SiO₂ 71,03%. Při vizuální prohlídce byly ve stropních konstrukcích obou objektů nalezeny podélné trhliny v trámech bez zkorodované výztuže, které svědčí o vyčerpání únosnosti jednotlivých trámů, vlasové trhliny ve stropních deskách a trhliny v příčkách. Zároveň docházelo dlouhodobým procesem k prohnutí jednotlivých trámů stropní konstrukce.

VII. Závěr

Podrobným stavebně – technickým průzkumem byly v celém rozsahu potvrzeny předpoklady a hodnocení, uvedené v předběžném a úvodním stavebně – technickém průzkumu. V železobetonových nosných konstrukcích v objektu keramické školy i bytového domu byl použit cement se zvýšeným obsahem hlinitanů. Vlivem

metastability slíinkových materiálů dochází ke ztrátě pevnosti betonu a to až na zjištěných cca 8 až 9 MPa. V dlouhodobém časovém období docházelo k postupnému vyčerpávání únosnosti jednotlivých prvků a k jejich prohnutí a následně potom i ke vzniku trhlin v trámech a stropních deskách.

Stavební stav železobetonových stropních konstrukcí v objektu školy a bytového domu je havarijní.

Dalovice dne: 07.07.2017

Ing. Petr Hamp

KANCELÁŘ STAVEBNÍHO INŽENÝRSTVÍ s.r.o.
Botanická 255, 360 02 Dalovice
IČ: 25 22 45 81 DIČ: CZ25224581
info@ksi.cz www.ksi.cz
tel. 602 455 027, 602 455 293

Ing. Stanislav Vónka

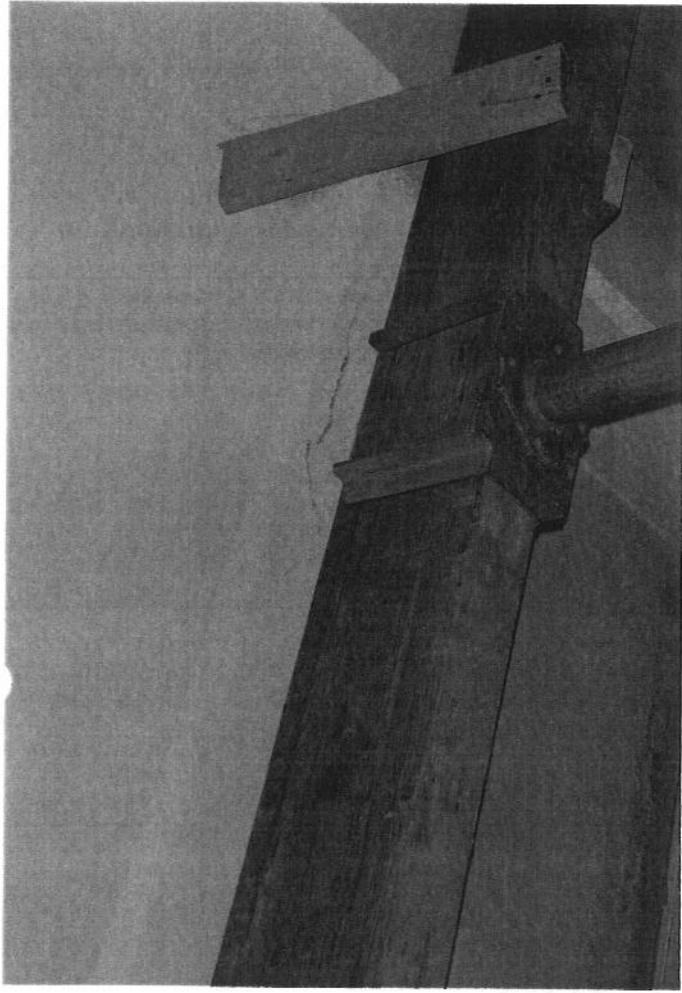


Kancelář stavebního inženýrství s.r.o.

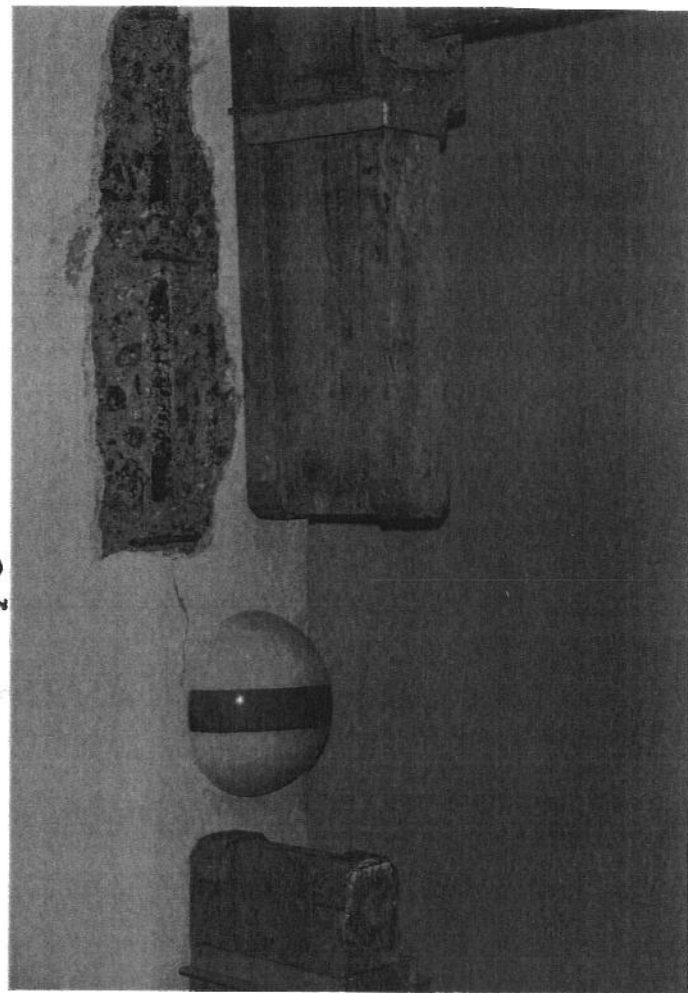
Sídlo spol.: Botanická 256, 360 02 Dalovice, IČ: 25 22 45 81, DIČ: CZ25224581

PŘÍLOHA

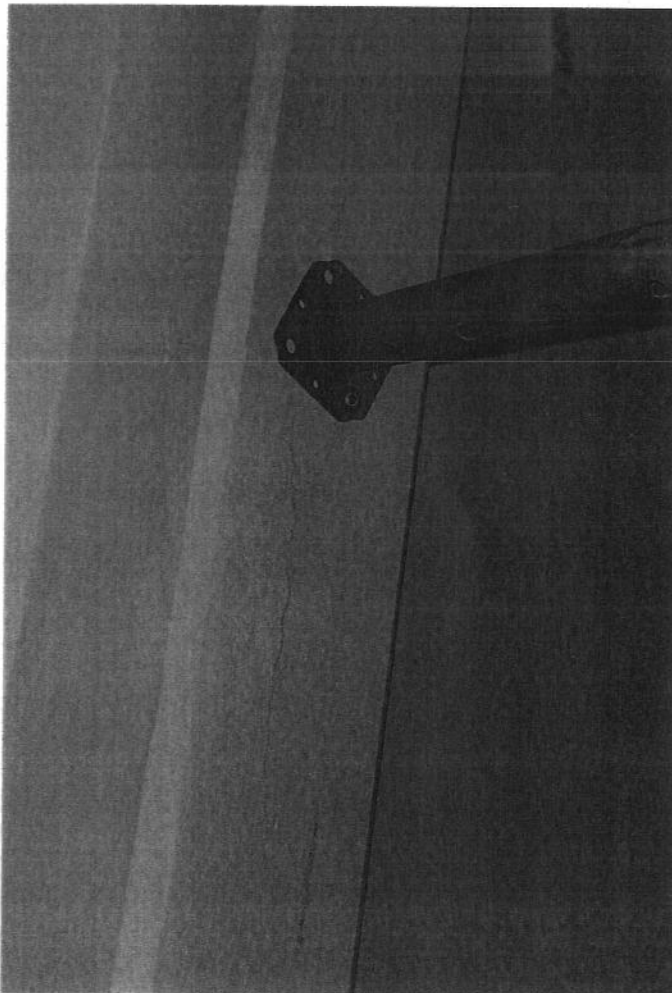
FOTODOKUMENTACE



p5



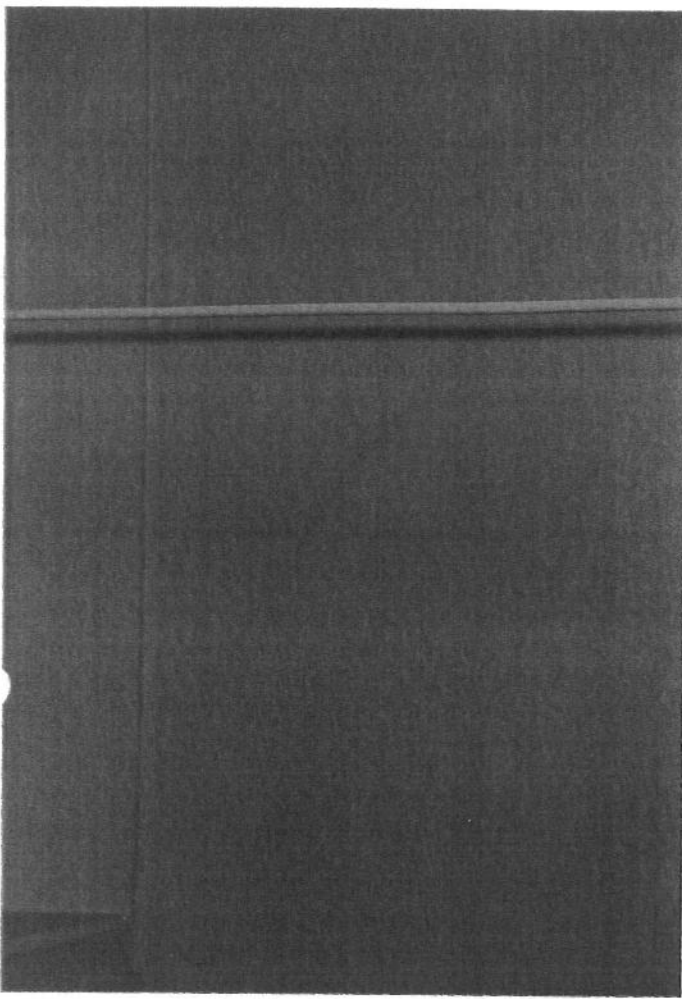
p3



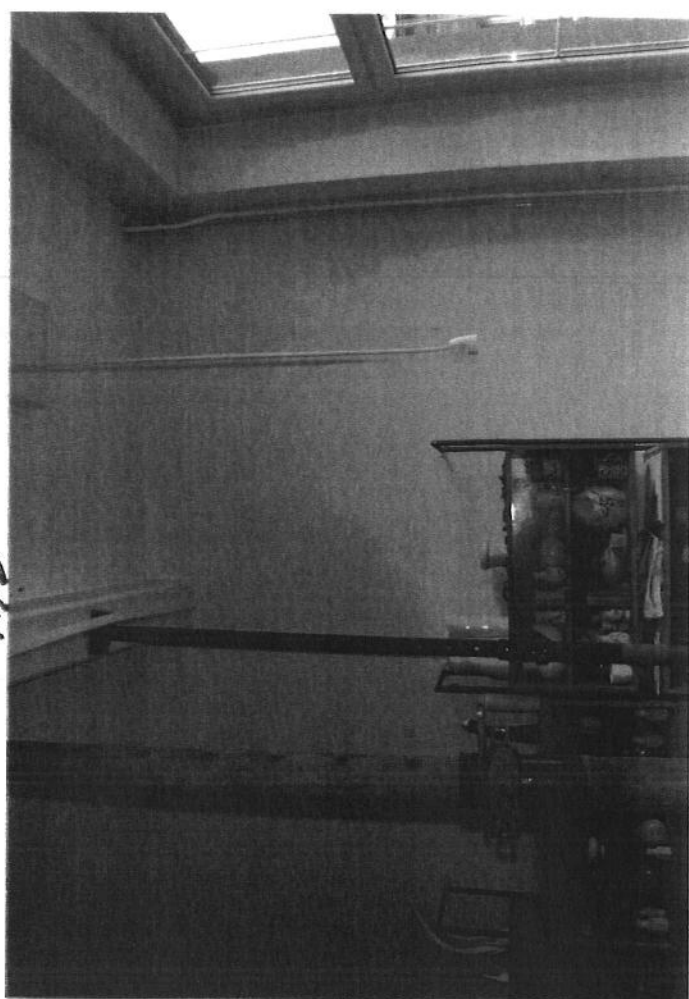
p2



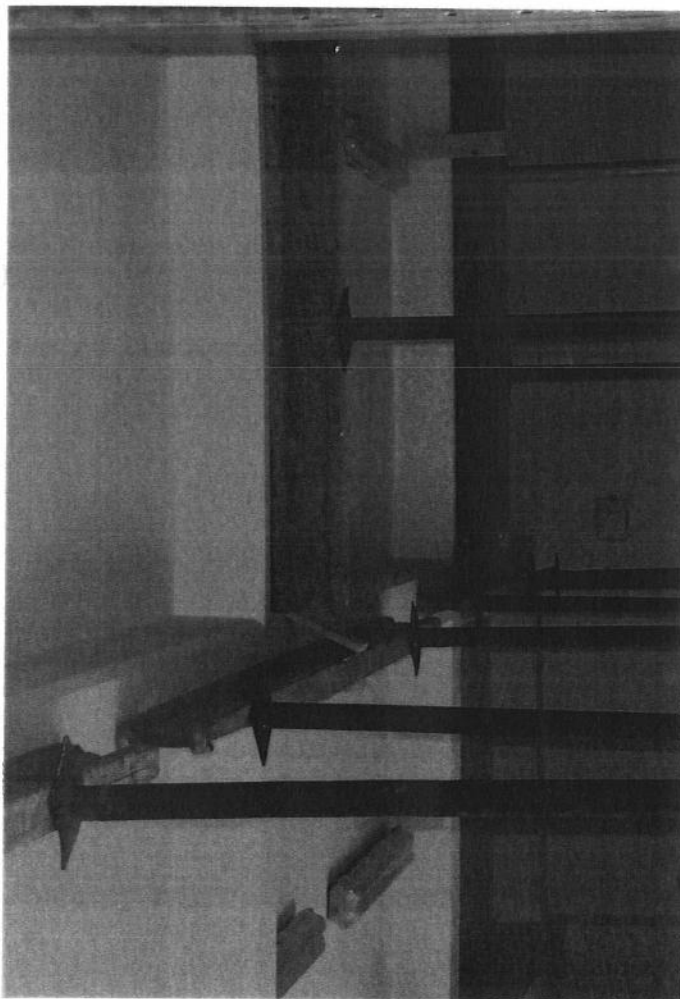
p1



P773



P7.a



P66



P6a

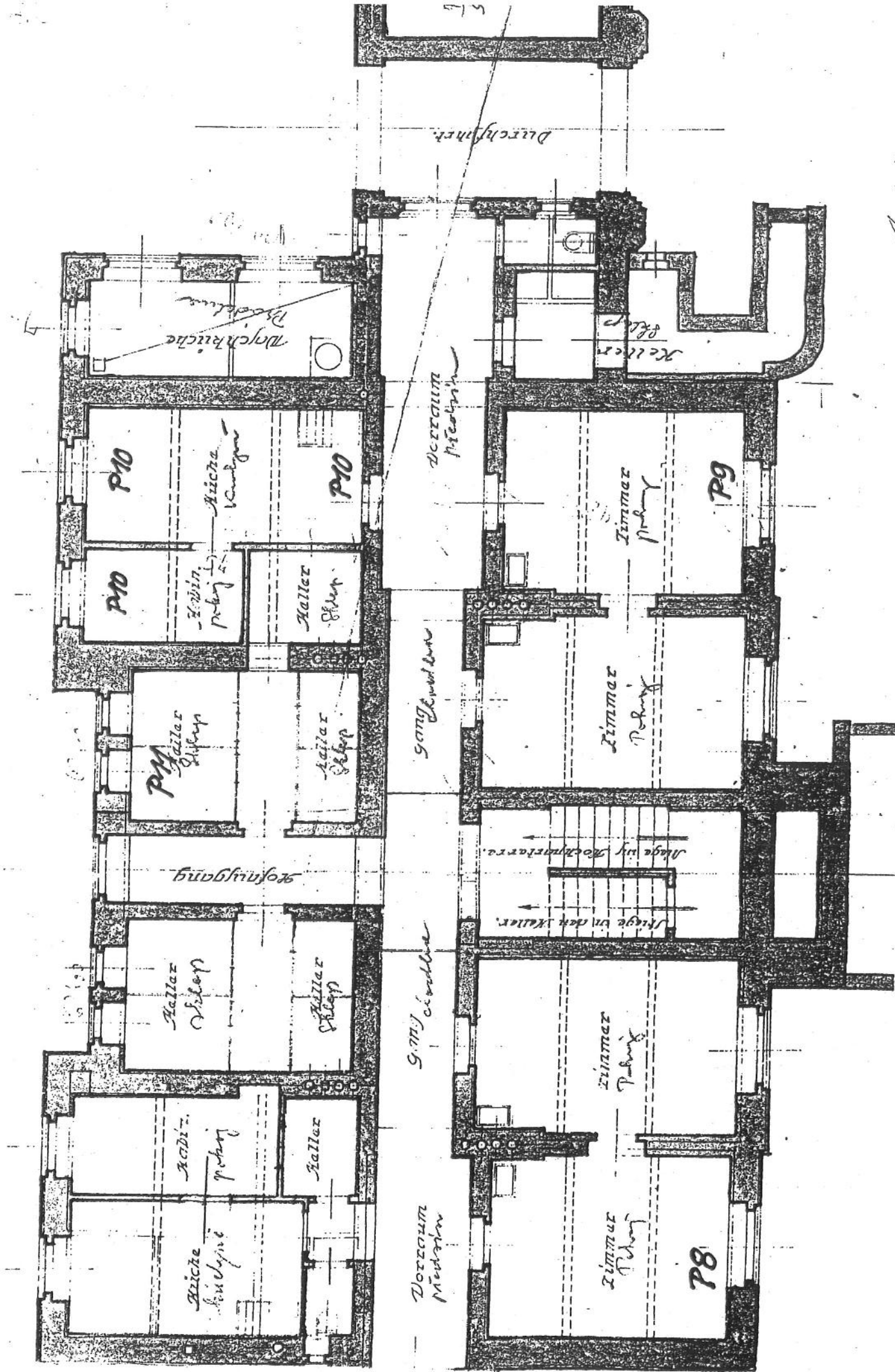


Kancelář stavebního inženýrství s.r.o.

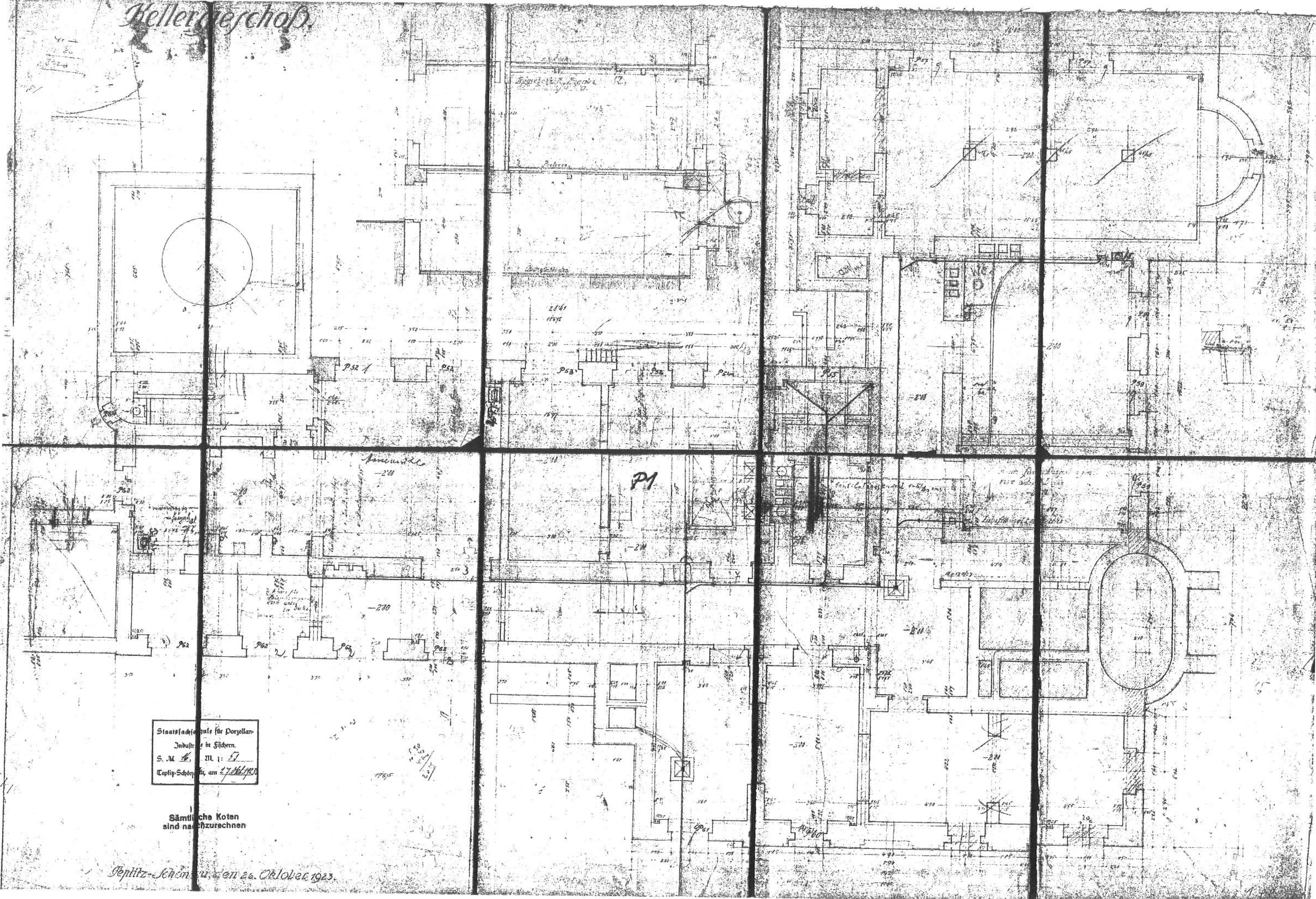
Sídlo spol.: Botanická 256, 360 02 Dalovice, IČ: 25 22 45 81, DIČ: CZ25224581

PŘÍLOHA 1

SCHEMA UMÍSTĚNÍ PORUCH KONSTRUKCÍ



Kellergeschoß.



Staatsfachschule für Porzellan
Industrie in Silesien.
S. N. Nr. 16. M. 1:50
Teplice-Schönau, am 24. Oktober 1923.

Parterre.

Sämtliche Kosten
sind nachzurechnen

Die Zufahrtskosten müssen aus dem über Fußboden in den
zweiflügeligen Räumen.
Die zweiflügeligen Räume müssen über Fußboden und dann
unter der Decke zu öffnen sein, wenn es eine Stützeöffnung
die Rückwand unter der Decke liegt, kann man die Fußboden
Zurücksetzung 95 m.
Zeichnerische Zeichnung.

- [Symbol] Klückersteine [Symbol] Betonplatten.
- [Symbol] Pfosten [Symbol] Beton.
- [Symbol] Betonplatten

Durchlaufender Betonguss

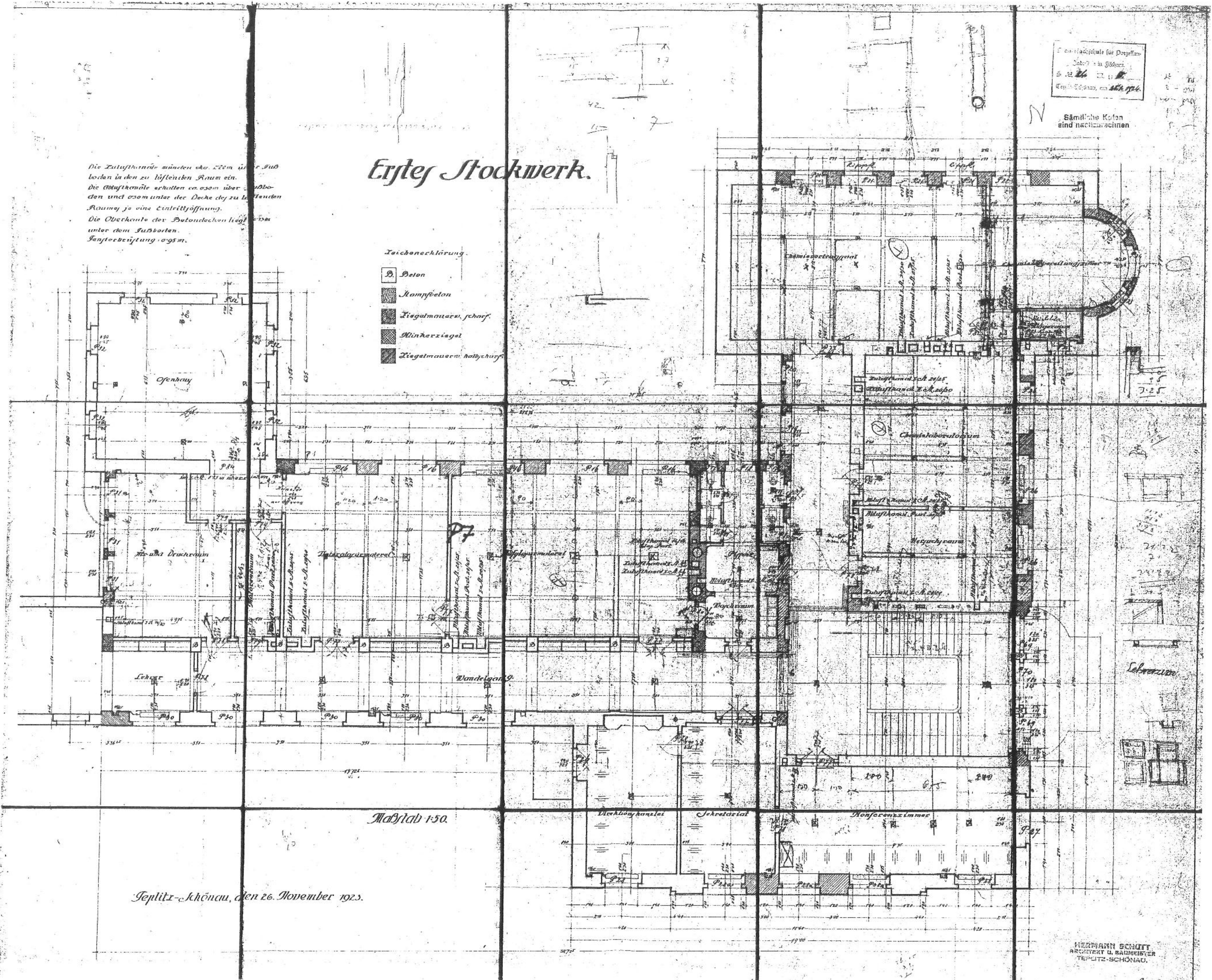
Draußen und Glasfenster

Mondgang.

Teplice-Schönau, den 24. Oktober 1923.

Maßstab 1:50.

HERMANN SCHÜTT
ARCHITEKT U. BAUMEISTER
TEPLICE-SCHÖNAU.



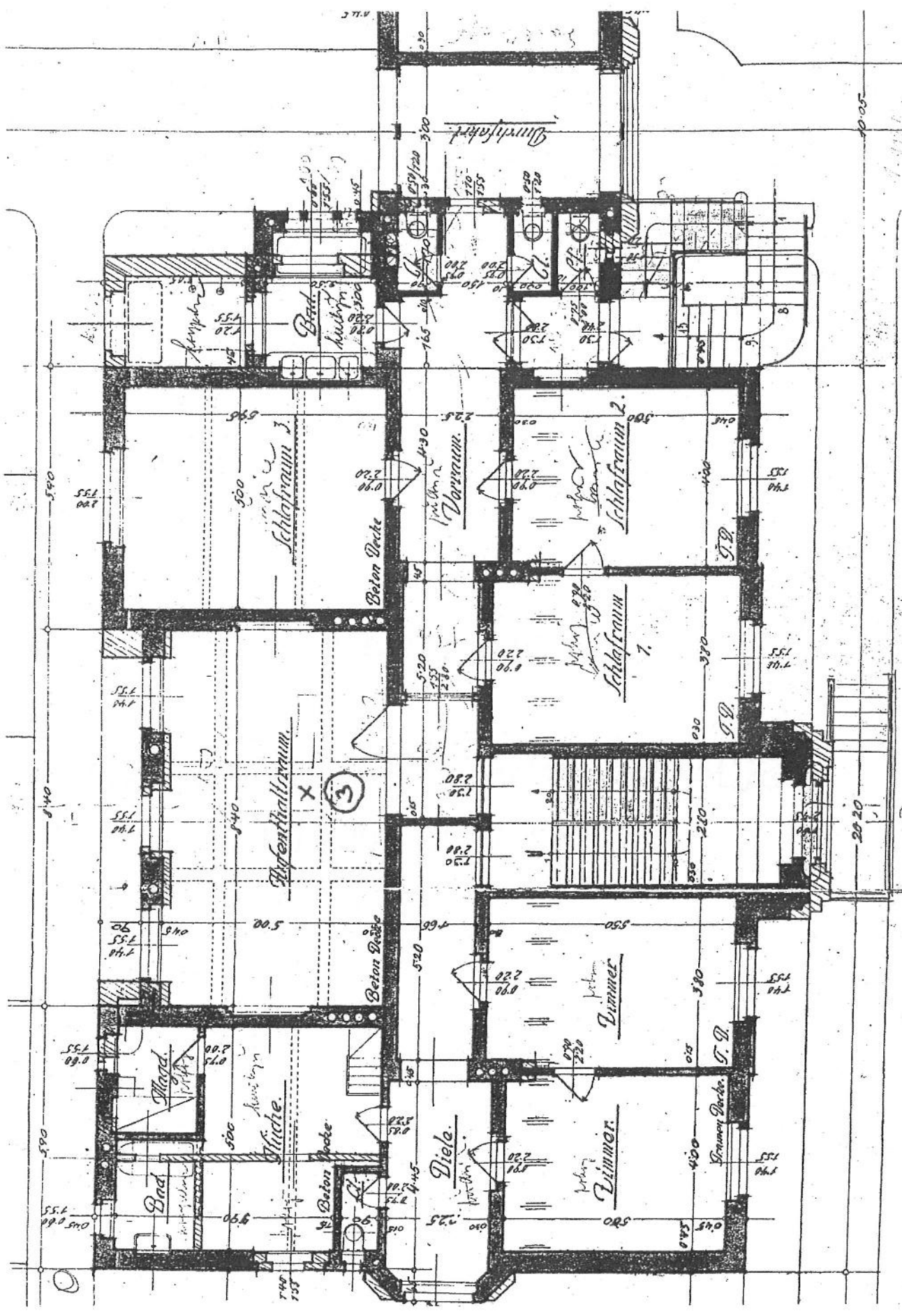


Kancelář stavebního inženýrství s.r.o.

Sídlo spol.: Botanická 256, 360 02 Dalovice, IČ: 25 22 45 81, DIČ: CZ25224581

PŘÍLOHA 2

SCHEMA UMÍSTĚNÍ VZORKŮ PRO CHEMICKOU ANALÝZU



Kellergeschoß.

Staatsfachprüfung für Porzellan
Industrie in Sizien.
S. M. Nr. M. 1: 57
Teplitz-Schönau, am 27. Mai 1923.

Sämtliche Kosten
sind nachzurechnen

Sieplitz-Schönfeld den 6. Oktober 1913

Staatsfachschule für Porzellan
Industrie in Silesien.
S. M. Nr. 11. M.
Teplitz-Schönau, am 7. 10. 1923.

Parterre.

Sämtliche Kt. ion
sind nachzurechnen

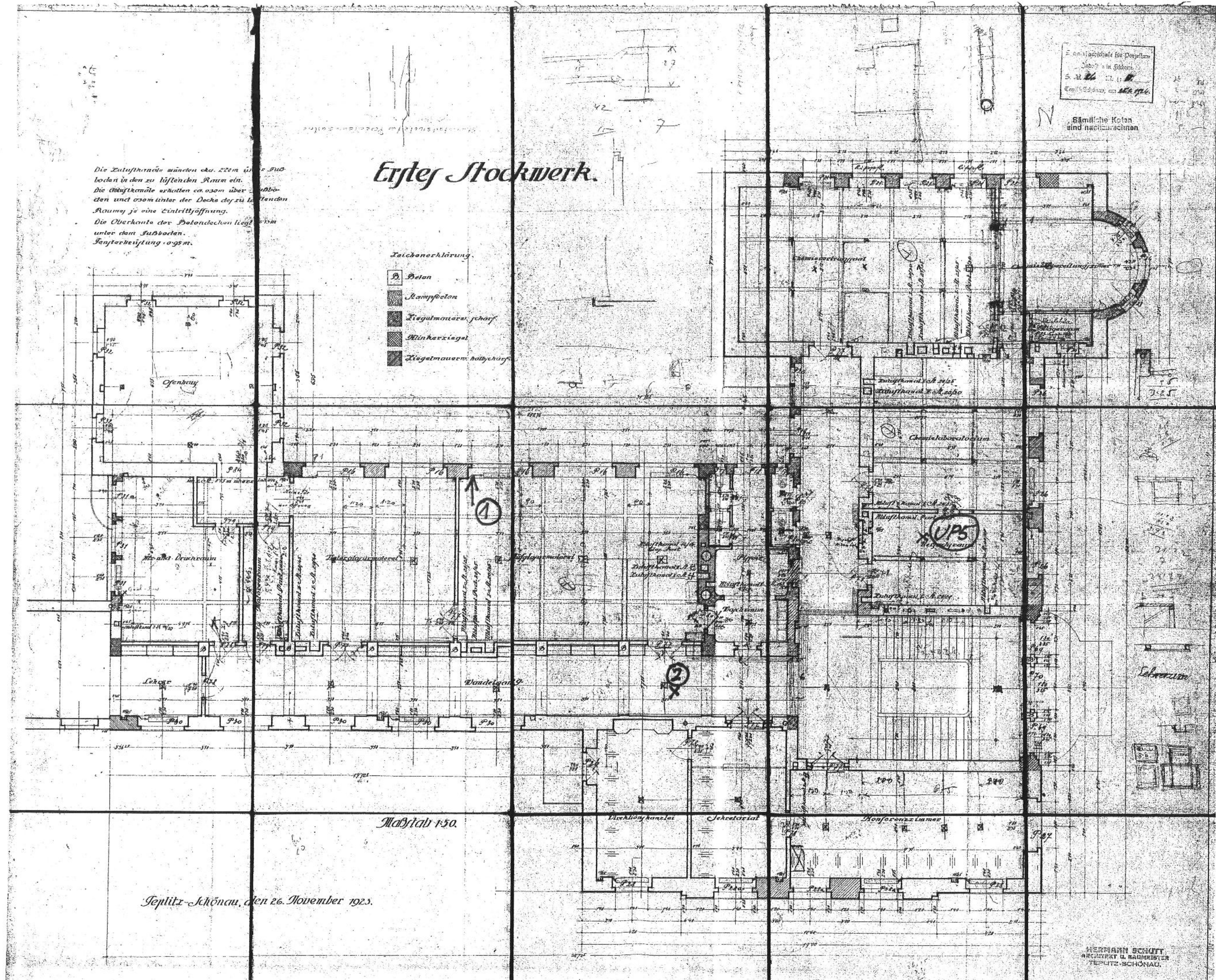
Die Lüftungskanäle müssen außen über Fußböden in den zu lüftenden Räumen.
Die Muffen müssen verdeckt werden über Fußböden und müssen unter der Decke liegen zu liegenden Räumen je eine Durchlüftung.
Die Ueckkante der Betondecken liegt dann unter dem Fußboden.
Lüftungsleitung: 0,8 m

Zeilengeschützungen:

- [■] Allukerzeugung [■] Bildungsf. Tropfen.
- [■] platz. Ziegeln am [■] Beton.
- [■] Betonstein.

Durchlaufender Betongurt

Brocken und Giebel-





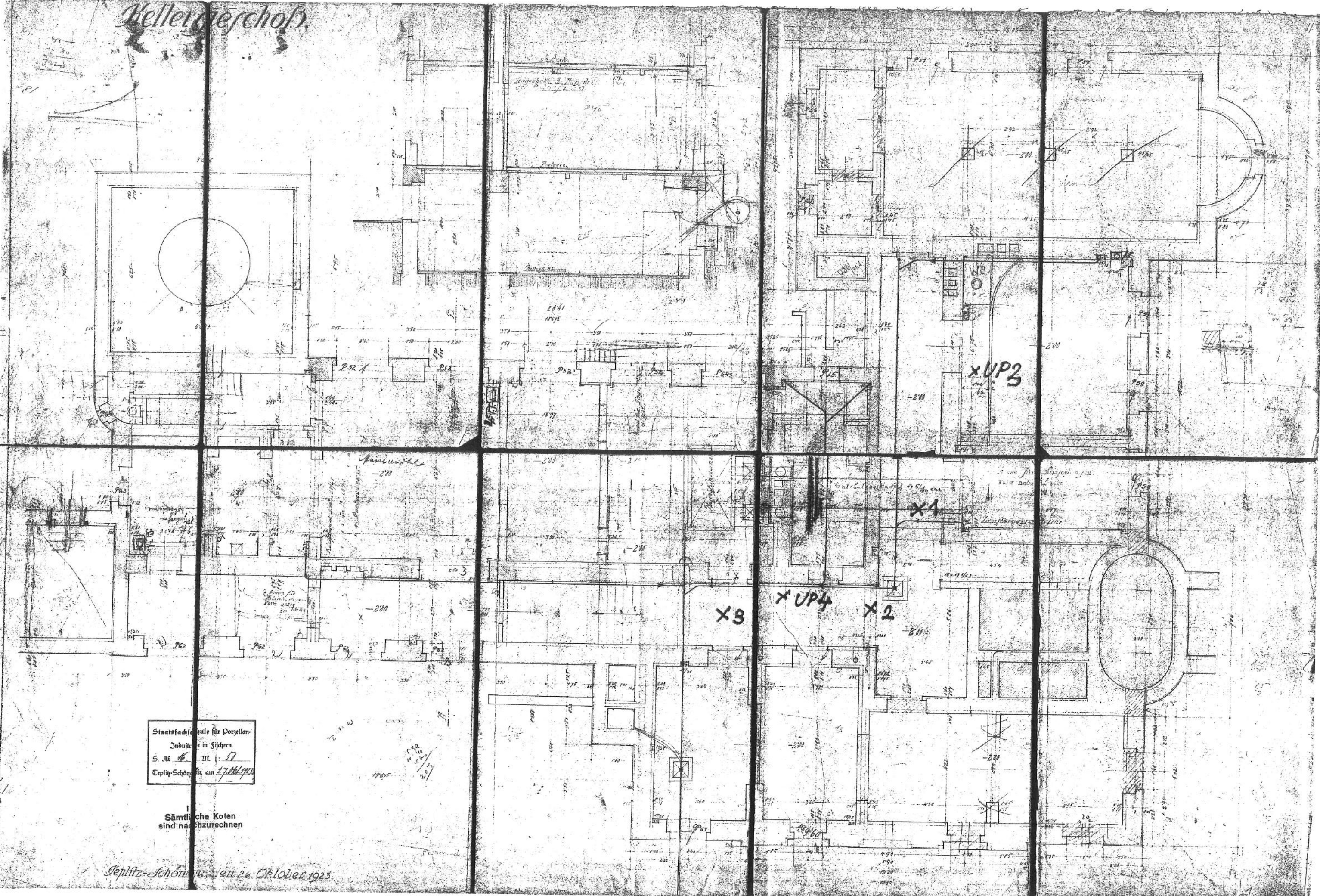
Kancelář stavebního inženýrství s. r. o.

Sídlo spol.: Botanická 256, 360 02 Dalovice, IČ: 25 22 45 81, DIČ: CZ25224581

PŘÍLOHA 3

SCHEMA UMÍSTĚNÍ ZKOUŠEK PRO NEDESTRUKTIVNÍ MĚŘENÍ PEVNOSTI BETONU – KERAMICKÁ ŠKOLA

Kellergeschoss.



Staatsfachschule für Porzellan
Johannit in Süßen.
S. N. Nr. M. 1: 10
Teplitz-Schönau, am 24. August.

Parterre.

Sämtliche Kosten
sind nachzurechnen

Die Lüftungskanäle münden außen über Fußböden in den
zu beladenen Raum ein.
Die Meißelsteine werden vorne über Fußböden und oben
unter der Decke, also zu liegenden Anlagen je einer Röhreöffnung.
Die Oberfläche der Betondecken liegt eben unter dem Fußboden.
Zeichner: E. H. S. Zeichnerkennung: 095

Altkeramik
neuer Ziegel, rot
Kunststein

Wolldecken

Altkeramik Ziegel

neuer Ziegel, rot

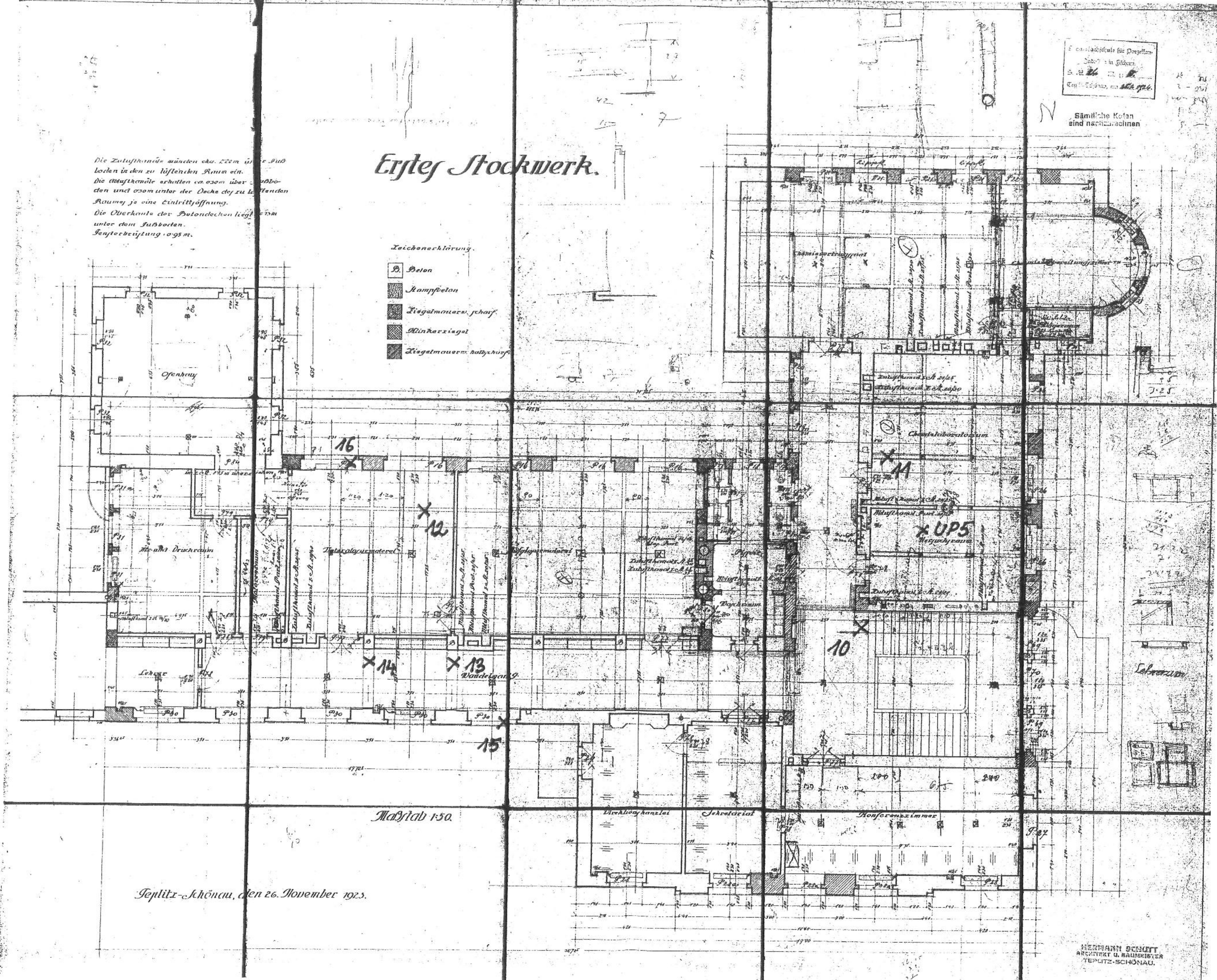
Beton

Kunststein

Altkeramik Ziegel

neuer Ziegel, rot

Beton





Kancelář stavebního inženýrství s. r. o.

Sídlo spol.: Botanická 256, 360 02 Dalovice, IČ: 25 22 45 81, DIČ: CZ25224581

PŘÍLOHA 4

SCHEMA UMÍSTĚNÍ ZKOUŠEK PRO NEDESTRUKTIVNÍ MĚŘENÍ PEVNOSTI BETONU – BYTOVÝ DŮM

